

УДК 622.235: 622.023

С.А. Козырев, И.А. Аленичев

**ВЛИЯНИЕ ОБВОДНЕННОСТИ НА ПРОЧНОСТНЫЕ
И ДИНАМИЧЕСКИЕ ХАРАКТЕРИСТИКИ
АПАТИТ-НЕФЕЛИНОВЫХ РУД КОАШВИНСКОГО
МЕСТОРОЖДЕНИЯ**

Получены значения скоростей продольных и поперечных волн для водонасыщенных апатит-нефелиновых руд с различным содержанием P_2O_5 . Выявлены закономерности увеличения скоростей упругих волн с ростом обводненности. Рассчитаны динамический модуль упругости и коэффициент Пуассона. Получена закономерность снижения прочностных характеристик для сухих и водонасыщенных образцов апатит-нефелиновых руд. Ключевые слова: обводненность, прочностные характеристики, динамические характеристики, динамический коэффициент Пуассона, коэффициент открытой пористости.

В последние годы резко осложнились горно-геологические условия отработки Хибинских апатит-нефелиновых месторождений в частности Коашвинского месторождения АО «Апатит». С понижением горных работ увеличился объем поступающих дренажных вод, а с ним и выход негабаритных фракций на рудных горизонтах карьера [1]. Зачастую при производстве БВР не учитываются такие моменты как степень обводненности, содержание P_2O_5 в отбиваемой руде, а используются усредненные параметры для всех условий, что ведет к разным конечным результатам. Поэтому необходимо определить, как обводненность влияет на динамические и прочностные характеристики апатит-нефелиновых руд с различным содержанием P_2O_5 с целью дальнейшего улучшения качества взрывных работ на карьере.

Для проведения исследований было отобрано 4 вида апатит-нефелиновой руды на дне карьера в пределах 500 м:

1. сетчато-полосчатая апатит-нефелиновая, бедная руда. Апатит присутствует в качестве цемента и тонких прослоев, содержание P_2O_5 – 5–7 %.

2. полосчатая апатит-нефелиновая руда тонко-мелкозернистая, содержание P_2O_5 – 13–15 %.

3. пятнисто-полосчатая апатит-нефелиновая руда мелкозернистая, плотная, содержание P_2O_5 – 23–25 %.

4. богатая крупнозернистая апатит-нефелиновая руда, содержание $P_2O_5 > 30\%$.

Анализ качества проведен на нейтронно-активационной установке «Восточного» рудника. Из каждого вида руды путем распиливания были получены цилиндры размерами примерно 200×200 мм из которых на установке «Бур № 9» выбуривали керны, используя алмазную коронку внутренним диаметром 45 мм. Керновые пробы распиливали с примерным отношением высоты к диаметру равным двум ($h/d=2$) на станках с алмазными пилами так, чтобы торцевые поверхности были строго параллельны друг другу.

Испытания проводили в два этапа. Первым было определение скоростей упругих колебаний и расчет динамических характеристик в образцах с естественной влажностью, и в образцах подвергнутых водонасыщению в течение 7 дней (максимальный промежуток времени между взрывами на карьерах АО «Апатит»).

До начала испытаний были определены плотности (методом гидростатического взвешивания) и значения коэффициента открытой пористости для каждого вида руды (рис. 1, 2). Установлено, что при увеличении содержания P_2O_5 , увеличивается плотность породы. Коэффициент открытой пористости расчет до значения 0,93 при содержании P_2O_5 равном 24 %, далее пористость снижается.

Исследования динамических характеристик проводились в соответствии со стандартами, ГОСТ 23829-79,

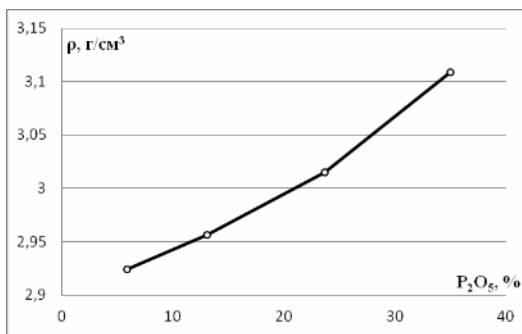


Рис. 1. Изменение плотности в зависимости от содержания P_2O_5 в породе

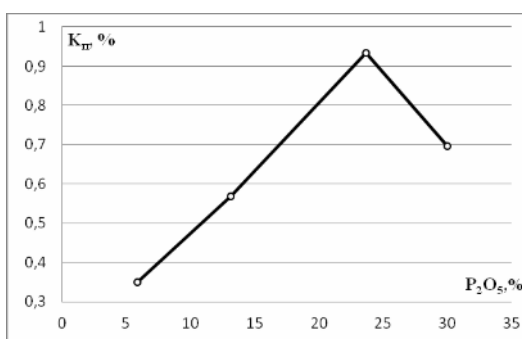


Рис. 2. Зависимость коэффициента открытым пористости от содержания P_2O_5

ГОСТ 21153.7-75 [4, 7, 8] которые распространяются на твердые горные породы с коэффициентом крепости по Протодьяконову f не менее 0,5 (прочность при одноосном сжатии не менее 50-80 кг/см²) и устанавливают основные положения по отбору проб, перечень основного оборудования и общие требования к методам физических испытаний.

Для получения более надежных данных использовали несколько приборов для определения продольных и поперечных волн:

1) Ультразвуковой дефектоскоп УКБ-1М.

2) Импульсный ультразвуковой дефектоскоп STARMANS DIO 1000 PA.

Результаты скоростей измерений усредняли и вычисляли динамический модуль упругости (E_d) и динамический коэффициент Пуассона (μ) по зависимостям, представленным в работе [2, 3].

Результаты испытаний отражены в табл. 1, 2.

По результатам полученных данных строили зависимости скоростей прохождения упругих волн и коэффициента Пуассона от содержания P_2O_5 в сухих и водонасыщенных образцах апатит-нефелиновых руд (рис. 3,4 соответственно).

Как видно из рисунка 3 скорости прохождения продольных и поперечных волн в сухих образцах породы уменьшаются с увеличением содержания P_2O_5 на всем протяжении, до того момента, как содержание P_2O_5 достигает 24 %. При визуальном осмотре образцов отмечаем, что в основном они представлены мелкозернистым апатитом (от сетчатого до пятнисто-полосчатого). После график меняет направление и в образцах с содержанием примерно 30 % скорости продольных волн по своим значениям становятся схожи со скоростями в образцах с содержанием апатита примерно 5-7 %. В данных образцах апатит присутствует в виде крупных зерен.

При насыщении водой скорость прохождения продольных волн увеличивается во всех представленных типах руды. Особо отчетливый скачок скорости наблюдался в образцах пятнисто-полосчатой

Таблица 1

Результаты испытаний образцов руды с естественной влажностью

Содержание P_2O_5	V_p , км/с	V_s , км/с	μ_d	E_d , ГПа
5-7	5,465	3,25	0,226	74,93
13-15	5,261	3,105	0,232	70,28
23-25	5,005	2,927	0,239	63,60
>30	5,463	3,13	0,255	76,48

Таблица 2

Результаты испытаний водонасыщенных образцов руды

Содержание P_2O_5	V_p , км/с	V_s , км/с	μ_d	E_d , ГПа
5–7	5,86	3,195	0,288	76,09
13–15	5,67	3,065	0,293	71,86
23–25	6,062	2,84	0,359	65,62
>30	5,95	3,055	0,320	76,64

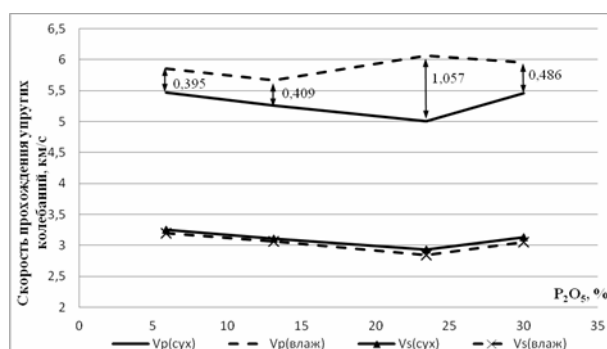


Рис. 3. Зависимость скоростей прохождения упругих волн от содержания P_2O_5 в сухих и водонасыщенных образцах апатит-нефелиновых руд

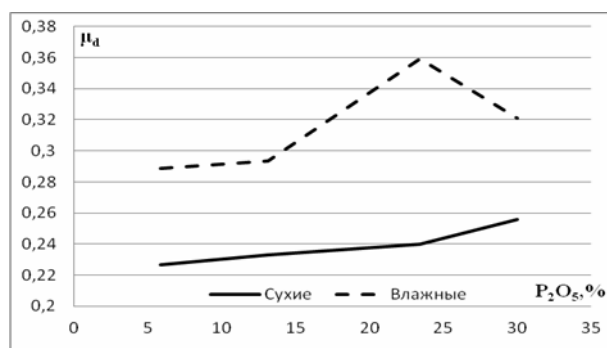


Рис. 4. Зависимость коэффициента Пуассона от содержания P_2O_5 в сухих и водонасыщенных образцах апатит-нефелиновых руд

ждения волны по сравнению с сухими образцами составила 1,057 км/с. Как известно скорость прохождения продольной волны в воде 1,5 км/с, поэтому вода, заполняя поры, усиливает сигнал прохождения волны настолько больше, насколько пористее тот или иной образец. Однако скорость поперечных волн снизилась, это связано с тем, что вода не пропускает поперечные волны.

Таким образом, напрашивается вывод о том, что при увеличении размеров зерен апатита скорость прохождения волн будет увеличиваться, это объясняется тем, что мелкозернистая структура гораздо сильнее замедляет (поглощает) прохождение упругих ко-

руды. Максимальная разница в скорости прохождения волн

лебаний. При водонасыщении значения продольных скоростей увеличиваются прямо пропорционально значениям коэффициента открытой пористости.

Повышение содержания P_2O_5 приводит к росту коэффициента Пуассона (рис. 4). В водонасыщенном состоянии коэффициент Пуассона увеличивается во всех видах руды и ведет себя в соответствии с изменением коэффициента открытой пористости.

Увеличение содержания P_2O_5 в руде приводит к снижению модуля упругости в сухих образцах, а при водонасыщении модуль упругости практически не изменяется, и сопоставим с сухими образцами.

Второй этап заключался в определении прочностных характеристик водонасыщенных апатит-нефелиновых руд с различным содержанием P_2O_5 . Для этого, из тех же образцов были изготовлены цилиндры примерным отношением высоты к диаметру равным ($h/d=1$) (45x45 мм) с отшлифовкой торцов на шлифовальном станке с целью придания параллельности торцевым поверхностям образца. Половина образцов, так же как и при определении прохождения упругих волн были подвергены замачиванию в течение 7 дней. Затем были проведены их испытания на одноосное сжатие (измерение максимального значения разрушающего давления, приложенного к плоским торцам правильного цилиндрического образца через плоские стальные плиты) и растяжение (измерение максимального значения разрушающего давления методом диаметрального сжатия) на установке MTS 816 Rock Test System. Испытания проводились в соответствии со стандартами, ГОСТ 21153.0-75, ГОСТ 21153.2-84, ГОСТ 21153.3-85 [4, 5, 6].

Результаты проведенных испытаний отражены в таблице 3, а так же построены графики зависимостей пределов прочности на сжатие и растяжение от содержания P_2O_5 для сухих и водонасыщенных образцов (рис. 5, 6).

Таблица 3

Результаты испытаний на сжатие и растяжение сухих и водонасыщенных образцов руды

Содержание P_2O_5	Сухие		Водонасыщенные	
	$\sigma_{сж}$, МПа	$\sigma_{раст}$, МПа	$\sigma_{сж}$, МПа	$\sigma_{раст}$, МПа
5–7	123,69	13,95	118,26	12,43
13–15	101,63	10,25	99,53	9,93
23–25	102,00	10,19	97,44	9,67
>30	61,27	9,17	56,63	7,72

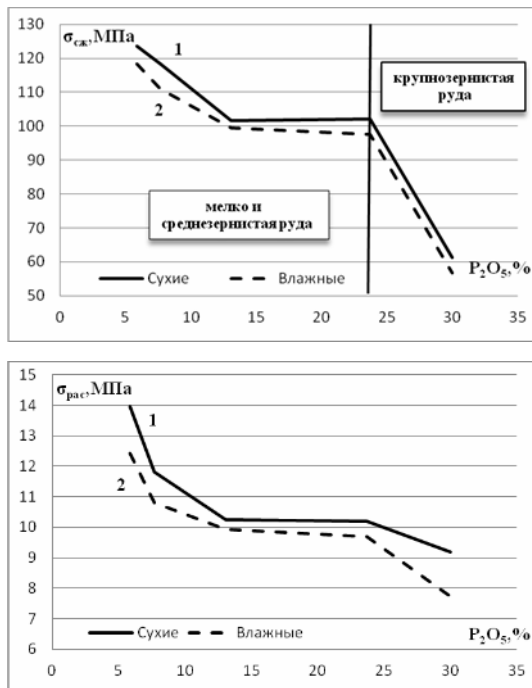


Рис. 6. Зависимость предела прочности на растяжение от содержания P_2O_5

дается, продолжается это до тех пор, пока содержание P_2O_5 не достигнет 23-24 %, после чего продолжается нисходящее движение прочностей. Поскольку содержание апатита и размер его зерен влияют на прочностные характеристики, логично предположить, что начиная с уровня P_2O_5 равным 24 %, апатит становится крупнозернистым и неспособен выдержать больших нагрузок, вероятно, это связано с тем, что крупнозернистый апатит имеет менее прочную связь зерен, чем мелкозернистый.

Снижение значений прочностей в водонасыщенных образцах (рис. 5,6, кривая 2) можно объяснить, используя заключения и выводы, сделанные в работе [9]. Прочность пород на одноосное сжатие и отрыв снижается с ростом диэлектрической проницаемости насыщающей жидкости. Высокая диэлектрическая постоянная жидкости (воды) означает, что жидкость имеет большой дипольный момент, что ведет к сильной адсорбции жидкости полярными частицами, сцепление между частицами в присутствии таких жидкостей ослабляется и, следовательно, напряжение разрушения снижается.

Рис. 5. Зависимость предела прочности на сжатие от содержания P_2O_5

По данным графикам отчетливо можно судить о снижении прочности на сжатие и растяжение в сухих и водонасыщенных образцах с увеличением содержания P_2O_5 . Прочность снижается равномерно во всех образцах до уровня, при котором процентное содержание P_2O_5 примерно соответствует 13-14 %. Далее график выполняется и значительных изменений в пределах прочности не наблю-

В нашем случае адсорбция воды на поверхности частиц нарушает связность зерен, что создает условия для скольжения кристаллов относительно друг друга и снижения прочностных характеристик породы.

Выводы

По результатам проведенных исследований установлено:

- при увеличении содержания P_2O_5 , увеличивается плотность руды.
- с ростом содержания P_2O_5 до уровня 24 % коэффициент открытой пористости повышается, далее пористость снижается.
- с увеличением размеров зерен апатита скорость прохождения волн будет увеличиваться.
- при водонасыщении значения продольных скоростей увеличиваются прямо пропорционально значениям коэффициента открытой пористости.
- увеличение содержания P_2O_5 приводит к росту коэффициента Пуассона. В водонасыщенном состоянии коэффициент Пуассона увеличивается во всех типах руд на 25-30 %.
- увеличение содержания P_2O_5 в руде приводит к снижению модуля упругости в сухих образцах, а при водонасыщении модуль упругости практически не изменяется, и сопоставим с сухими образцами.
- прочностные характеристики снижаются с увеличением содержания P_2O_5 .
- начиная с содержания P_2O_5 равного 24 % и выше, апатит становится крупнозернистым и неспособен выдержать больших нагрузок.
- адсорбция воды на поверхности частиц нарушает связность зерен, что создает условия для скольжения их относительно друг друга и что приводит к еще большему снижению прочностных характеристик руды по сравнению с сухим состоянием.

СПИСОК ЛИТЕРАТУРЫ

1. Козырев С.А., Аленичев И.А. К вопросу влияния гидрогеологических условий Коашвинского месторождения ОАО «Апатит» на степень обводненности горных пород // Мониторинг природных и техногенных процессов при ведении горных работ. — Апатиты; СПб.:«Реноме», 2013. — С.356-362.
2. Турчанинов И.А., Воларович М.П. и др. Атлас физических свойств минералов Хибинских месторождений. Изд-во «Наука», Ленингр. Отд., Л., — 1975. — С.71.

3. Бельтиков Н.Л., Евсеев А.В. Сопоставление упругих свойств горных пород // Вестник Пермского национального исследовательского политехнического университета. Геология Нефтегазовое и горное дело. — 2010 — №5. — С.82-85.
4. ГОСТ 21153.0-75. Породы горные. Отбор проб и общие требования к методам физических испытаний. Введ. с 01.07.1975 до 01.07.1986. М., Изд-во стандартов, 3 с., 1975.
5. ГОСТ 21153.2-84. Породы горные. Методы определения предела прочности при одноосном сжатии. Взамен ГОСТ 21153.2-75. Введ с 19.06.84 до 01.07.91. М., Изд-во стандартов, 8 с., 1984.
6. ГОСТ 21153.3-85. Породы горные. Методы определения предела прочности при одноосном растяжении. Взамен ГОСТ 21153.3-75, ГОСТ 21153.4-75. Введ с 01.01.87 до 01.01.92. М., Изд-во стандартов, 18 с., 1987.
7. ГОСТ 21153.7-75. Породы горные. Метод определения скоростей распространения упругих продольных и поперечных волн. Введ. С 01.07.1976 до 01.07.1986. М., Изд-во стандартов, 8 с., 1976.
8. Горбацевич Ф.Ф. Определение скорости распределения продольных и поперечных колебаний в образцах горных пород // Методические рекомендации. — Апатиты: КНЦ РАН, 1982. – 15 с.
9. Карманский А.Т. Экспериментальное обоснование прочности и разрушения насыщенных осадочных горных пород // Автореферат диссертации на соискание ученой степени д.т.н. Спб. — 2010. — С.39. ГИАБ

КОРОТКО ОБ АВТОРАХ

Козырев Сергей Александрович – доктор технических наук, заведующий лабораторией, skozirev@goi.kolasc.net.ru,
Аленичев Игорь Алексеевич – ведущий технолог, igor-alenichev@ya.ru,
Горного института Кольского научного центра Российской академии наук.



UDC 622.235: 622.023

THE EFFECT OF WATER FLOODING ON THE STRENGTH AND DYNAMIC CHARACTERISTICS OF THE KOASHVA APATITE-NEPHELINE ORES

Kozyrev S.A., Head of laboratory, Dr.Sci (Eng.), skozirev@goi.kolasc.net.ru, Mining Institute of the Kola Science Centre of the Russian Academy of Sciences, Russia,
Alenichev I.A., leading technologist, igor-alenichev@ya.ru, Mining Institute of the Kola Science Centre of the Russian Academy of Sciences, Russia.

Values of the P and S-waves velocity have been obtained for flooding apatite-nepheline ore with different content of P_2O_5 . Regularities have been revealed of elastic wave velocities increase when flooding increasing. Dynamic elastic modulus and Poisson's ratio have been calculated. Regularity of reducing strength characteristics for dry and water-saturated samples of apatite-nepheline ores has been obtained.

Key words: flooding, strength characteristics, dynamic characteristics, Poisson's ratio, coefficient of open porosity.

REFERENCES

1. Kozyrev S.A., Alenichev I.A. K voprosu vliyaniya gidrogeologicheskikh uslovij koash-vinskogo mestorozhdeniya OAO «Apatit» na stepen obvodnennosti gornyh porod (To the question of the influence of hydrogeological conditions Masvingo field of OJSC "Apatit" to the extent of water cut of rocks) // Monitoring prirodnyh i tehnogenykh processov pri vedenii gornyh rabot. 2013. pp. 356–362.
2. Turchaninov I.A., Volarovich M.P. i dr. *Atlas fizicheskikh svojstv mineralov hibinskikh mestorozhdenij* (Atlas of physical properties of minerals of the Khibiny deposits) // Izd-vo «Nauka», Leningr. otd., Leningrad, 1975. pp. 71.
3. Beltyukov N.L., Evseev A.V. *Sopostavlenie uprugih svojstv gornyh porod* (Comparison of elastic properties of rocks) // Vestnik permskogo nacionalnogo issledovatel'skogo politehnicheskogo universiteta. Geologiya neftegazovoe i gornoe delo. 2010. No 5. pp. 82–85.
4. Gost 21153.0-75. Porody gornye. Otbor prob i obshie trebovaniya k metodam fizicheskikh ispytanij. Vved. s 01.07.1975 do 01.07.1986. M., Izd-vo standartov, 3 p., 1975.
5. Gost 21153.2-84. Porody gornye. Metody opredeleniya predela prochnosti pri odnoosnom szhatii. Vzamen gost 21153.2-75. Vved s 19.06.84 do 01.07.91. M., Izd-vo standartov, 8 p., 1984.
6. Gost 21153.3-85. Porody gornye. Metody opredeleniya predela prochnosti pri odnoosnom rastyazhenii. Vzamen gost 21153.3-75, Gost 21153.4-75. Vved s 01.01.87 do 01.01.92. M., Izd-vo standartov, 18 p., 1987.
7. Gost 21153.7-75. Pporody gornye. Metod opredeleniya skorostej rasprostraneniya uprugih prodolnyh i poperechnyh voln. Vved. s 01.07.1976 do 01.07.1986. M., Izd-vo standartov, 8 p., 1976.
8. Gorbacevich F.F. *Opredelenie skorosti raspredeleniya prodolnyh i poperechnyh kolebanij v obrazcakh gornyh porod* (Definition of speed of distribution of longitudinal and transverse vibrations in rock samples) // Metodicheskie rekomendacii. Apatity: KNC RAN, 1982. 15 p.
9. Karmanskij A.T. *Eksperimentalnoe obosnovanie prochnosti i razrusheniya nasyshennyh osadochnyh gornyh porod* (Experimental study of strength and fracture saturated sedimentary rocks) // Avtoreferat dissertacii na soiskanie uchenoj stepeni d.t.n. Spb. 2010. p. 39.